

15. Солиман, Джонсон. Теплопередача в переходном режиме при обтекании турбулентным потоком плоской пластины, обладающей отличной от нуля теплоемкостью и содержащей переменный во времени источник тепла.— Тр. Амер. о-ва инж.-мех. Сер. С. Теплопередача, 1967, № 4.
16. Ванг, Чжун, Томас. Исследование нестационарного конвективного теплообмена в ламинарном пограничном слое с учетом теплоемкости и термического сопротивления стенки.— Тр. Амер. о-ва инж.-мех. Сер. С. Теплопередача, 1977, № 4.
17. Kemink R. G., Sparrow E. M. Heat transfer coefficients for melting about a vertical cylinder with or without subcooling and for open or closed containment.— Int. J. Heat Mass Transfer, 1981, v. 24, N 10.
18. Sundén B. Conjugated heat transfer from circular cylinders in low Reynolds number flow.— Int. J. Heat Mass Transfer, 1980, v. 23, N 10.

Поступила 11/III 1984 г.

УДК 532.526.011:518.5

## О СТРУКТУРЕ ТЕЧЕНИЯ В ОКРЕСТНОСТИ ЗАДНЕЙ КРОМКИ ПЛАСТИНЫ

B. B. Боголепов

(Москва)

В [1—3] получены решения для окрестности задней кромки плоской пластины при больших, но докритических числах Рейнольдса  $Re_0$ , посчитанных по длине пластины  $l$  и параметрам набегающего потока, для дозвукового и сверхзвукового внешних потоков соответственно, которые описывают течения в переходной области протяженностью  $x \sim O(l Re_0^{-3/8})$  между известным течением Блазиуса на плоской пластине и течением в следе [4]. Эти решения имеют особенность в следе за пластиной, которую удается преодолеть при используемых численных методах. Наличие особенности указывает на необходимость изучения течения в областях протяженностью  $x < l Re_0^{-3/8}$ .

В данной работе при использовании метода сращиваемых асимптотических разложений при  $Re_0 \rightarrow \infty$  исследовано течение около задней кромки пластины в области протяженностью  $l Re_0^{-3/4} < x < l Re_0^{-3/8}$ . Получено, что на таких длинах в области около пластины реализуется «компенсационный» режим течения [5], когда около пластины справедливы решения [1—3] для задней кромки пластины, а в следе за ней существует особенность прежнего вида. Показано, что в особой области при  $x \sim O(l Re_0^{-3/4})$  течение в первом приближении описывается уравнениями Навье — Стокса для несжимаемой жидкости. Численные решения получены для тонкой пластины и для пластины с толщиной в широком диапазоне изменения местного числа Рейнольдса  $Re = 0—100$ . Представлены картины линий тока, характеристики срывных зон, распределения газодинамических функций течения по поверхности обтекаемых тел.

1. При построении решений [1—3] для оценок функций течения в узкой области вблизи поверхности пластины учитывалось, что функции течения изменяются пропорционально расстоянию от поверхности пластины, течение вязкое, разрыв краевых условий в задней кромке пластины вызывает нелинейные возмущения функций течения. Тогда при использовании уравнений движения жидкости легко получить

$$(1.1) \quad u \sim x^{1/3}, \quad v \sim \varepsilon x^{-1/3}, \quad \Delta p \sim x^{2/3}, \quad \delta \sim \varepsilon x^{1/3}.$$

Здесь и в дальнейшем используются безразмерные переменные; для этого все линейные размеры относятся к  $l$ ; давление и энталпия — к  $\rho_0 u_0^2$  и  $u_0^2$  соответственно; остальные функции течения — к своим значениям в невозмущенном набегающем потоке;  $\delta$  — толщина слоя смешения за кромкой пластины;  $\varepsilon = Re_0^{-1/2}$ .

В рассматриваемом течении фиксировано начало образования слоя смешения  $x = 0$ , и поэтому соотношения (1.1) описывают особенность сразу за задней кромкой пластины. Соотношения (1.1) замыкаются условием взаимодействия течения в пристеночном слое с внешним дозвуковым или сверхзвуковым потоком  $\Delta p \sim \delta/x$ , и тогда получаются оценки для масштабов и функций течения пристеночной области (в [1—3] это область III)  $x \sim \varepsilon^{5/4}$ ,  $y \sim \varepsilon^{5/4}$ ,  $u \sim \varepsilon^{1/4}$ ,  $v \sim \varepsilon^{3/4}$ ,  $\Delta p \sim \varepsilon^{1/2}$ .

Если теперь рассматривать области протяженностью  $\varepsilon^{3/2} < x < \varepsilon^{3/4}$ , т. е. более короткие, чем в [1—3], то соотношения (1.1) останутся в силе, а течение в пристеночной области будет взаимодействовать с пристеночной частью пограничного слоя у задней кромки пластины [5]. При этом реализуется «компенсационный» режим течения, когда условие взаимодействия имеет локальный характер, течение вблизи пластины остается невозмущенным, т. е. таким, как в [1—3] в задней кромке пластины, а решение для следа является фактически первым членом координатного разложения для решения в области протяженностью  $x \sim \varepsilon^{3/4}$  [3].

2. Оценки п. 1 позволяют построить решение уравнений Навье — Стокса в окрестности особой области, где продольная и поперечная компоненты скорости становятся равными по порядку величины. Из соотношений (1.1) следует, что это справедливо в области с характерными размерами  $x \sim y \sim O(\varepsilon^{3/2})$ , для которой необходимо ввести новые независимые переменные и асимптотические разложения для функций течения:

$$(2.1) \quad \begin{aligned} x &= \varepsilon^{3/2}x_1, \quad y = \varepsilon^{3/2}y_1, \\ u(x, y; \varepsilon) &= \varepsilon^{1/2}u_1(x_1, y_1) + \dots, \quad v(x, y; \varepsilon) = \varepsilon^{1/2}v_1(x_1, y_1) + \dots, \\ p(x, y; \varepsilon) &= 1/\gamma M_0^2 + \varepsilon^{1/2}p_w + \varepsilon p_1(x_1, y_1) + \dots, \quad \mu(x, y; \varepsilon) = \mu_w + \dots, \\ \rho(x, y; \varepsilon) &= \rho_w + \dots, \quad h(x, y; \varepsilon) = h_w + \varepsilon^{1/2}h_1(x_1, y_1) + \dots \end{aligned}$$

Здесь все переменные обычные; индексом  $w$  отмечены переменные у поверхности пластины у ее задней кромки, которые будут различны для дозвукового или сверхзвукового набегающих потоков.

Подстановка разложений (2.1) в уравнения Навье — Стокса и совершение предельного перехода при  $\varepsilon \rightarrow 0$  показывают, что в первом приближении течение в окрестности задней кромки пластины с характерными размерами  $x \sim y \sim O(\varepsilon^{3/2})$  описывается уравнениями Навье — Стокса для несжимаемой жидкости:

$$(2.2) \quad \begin{aligned} \frac{\partial u}{\partial x} + \frac{\partial v}{\partial y} &= 0, \quad u \frac{\partial u}{\partial x} + v \frac{\partial u}{\partial y} + \frac{\partial p}{\partial x} = \frac{1}{Re} \left( \frac{\partial^2 u}{\partial x^2} + \frac{\partial^2 u}{\partial y^2} \right), \\ u \frac{\partial v}{\partial x} + v \frac{\partial v}{\partial y} + \frac{\partial p}{\partial y} &= \frac{1}{Re} \left( \frac{\partial^2 v}{\partial x^2} + \frac{\partial^2 v}{\partial y^2} \right), \quad u \frac{\partial h}{\partial x} + v \frac{\partial h}{\partial y} = \frac{1}{RePr} \left( \frac{\partial^2 h}{\partial x^2} + \frac{\partial^2 h}{\partial y^2} \right), \\ Re &= \rho_w A a_1^2 / \mu_w, \quad A = (\partial u / \partial y)_w, \quad B = (\partial h / \partial y)_w. \end{aligned}$$

Здесь координаты  $x, y$  отнесены к некоторому размеру в области течения  $a_1$ ; компоненты скорости  $u, v$ , возмущения энтальпии  $h$  и давления  $p$  — к своим величинам и удвоенному скоростному напору в сдвиговом набегающем потоке на расстоянии  $a_1$  от поверхности пластины соответственно;  $Re$  — местное число Рейнольдса;  $Pr$  — число Прандтля во всех расчетах полагалось равным 0,7. В (2.2) и в дальнейшем для простоты опущен индекс 1 у переменных.

На поверхности обтекаемого тела должны выполняться обычные условия непротекания и прилипания

$$(2.3) \quad u = v = 0,$$

в следе на линии симметрии — условия симметрии и гладкости профилей функций  $u, v$  и  $h$ :

$$(2.4) \quad \partial u / \partial y = v = \partial h / \partial y = 0.$$

Внешние краевые условия получаются из сращивания с набегающим сдвиговым потоком:

$$(2.5) \quad u \rightarrow y, \quad h \rightarrow y \quad (x \rightarrow -\infty \text{ или } y \rightarrow \infty),$$

в следе решение для исследуемой области должно переходить в соотношения вида (1.1):

$$(2.6) \quad u \sim x^{1/3}, \quad h \sim x^{1/3} (x \rightarrow \infty).$$

В принятых обозначениях безразмерные напряжение трения  $\tau$  и тепловой поток  $q$  выражаются формулами

$$\begin{aligned}\tau &= \tau_{xy}/\epsilon\rho_0 u_0^2 \mu_w A = \partial u / \partial y + \\ &+ \partial v / \partial x, q = -q_w \operatorname{Pr} / \epsilon \rho_0 u_0^3 \mu_w B = \\ &= \partial h / \partial n\end{aligned}$$

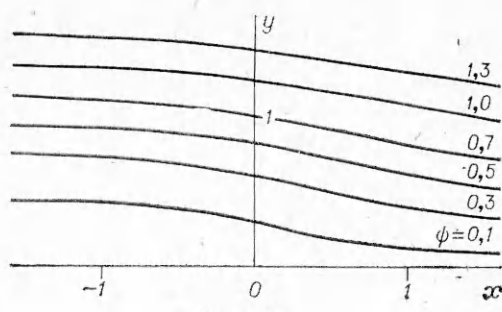
( $n$  — внешняя к поверхности тела нормаль) и в набегающем сдвиговом потоке  $\tau = q = 1$ .

Краевая задача (2.2)–(2.6) без уравнения сохранения энергии была поставлена и частично исследована в [6].

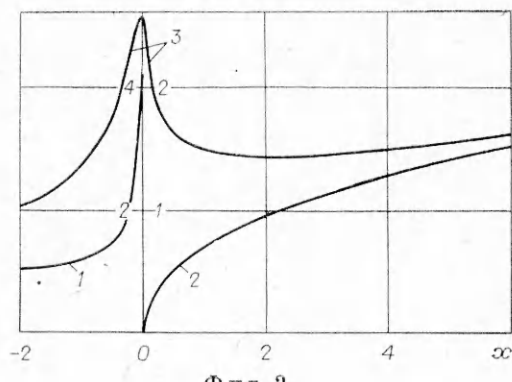
3. Краевая задача (2.2)–(2.6) решалась численно в традиционных переменных функции тока и завихренности. Подробно метод решения подобных задач изложен в [7].

При обтекании плоской пластины в краевой задаче нет характерной длины, и тогда можно выбрать  $a_1 = (\mu_w / A \rho_w)^{1/2}$ , при этом местное число Рейнольдса  $Re = 1$ . В этом случае течение всюду безотрывное, ускорение потока в следе за пластиной вызывает значительное смещение линий тока к линии симметрии (фиг. 1). Напряжение трения  $\tau$  резко увеличивается по мере приближения к задней кромке пластины и качественно согласуется с представленной в [8] зависимостью:  $\tau \sim x^{-2}$  при  $x \rightarrow 0$  (кривая 1 на фиг. 2, левая шкала оси ординат). Продольная скорость  $u$  на линии симметрии (кривая 2 на фиг. 2, правая шкала оси ординат) при  $x \leq 0,5$  хорошо согласуется с представленной в [8] зависимостью:  $u \sim x^{1/2}$  при  $x \rightarrow 0$ , а при  $x \geq 10$  — с асимптотическим законом изменения (1.1).

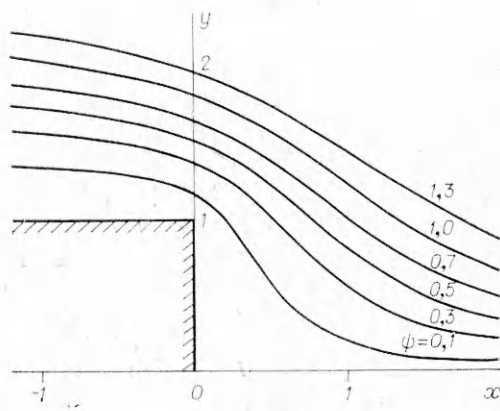
В исследуемом течении поток ускоряется за счет действия сил вязкости в слое смещения за пластиной. Вблизи поверхности пластины скорости малы и течение здесь описывается уравнениями Стокса, т. е. вязкие силы должны уравновешиваться силами давления. Поэтому возрастание величины  $\tau$



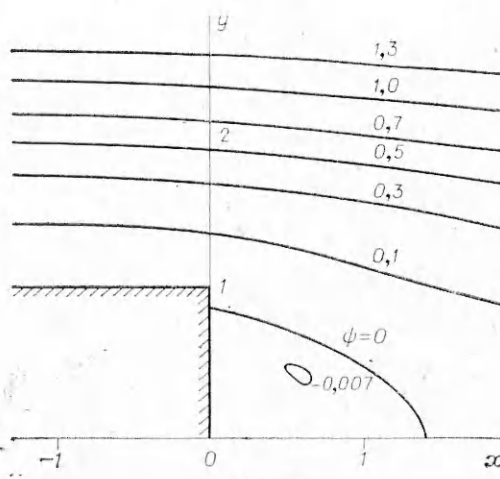
Фиг. 1



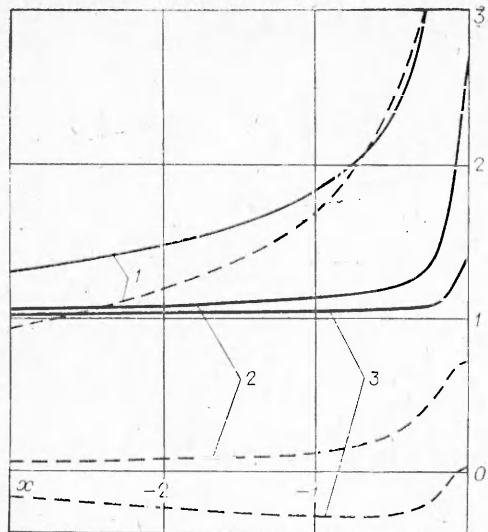
Фиг. 2



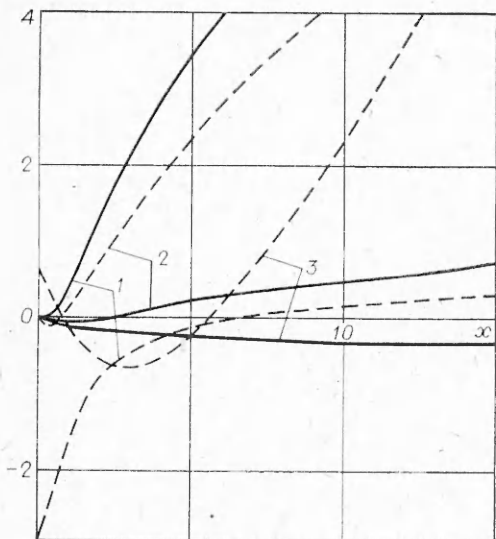
Фиг. 3



Фиг. 4



Фиг. 5



Фиг. 6

ния  $\tau$ , и поэтому на фиг. 2 оно не приводится. Величина  $q_1 = \int_{-\infty}^0 (q - 1) dx \approx 1,066$  характеризует изменение нагрева одной стороны пластины в окрестности ее задней кромки. Возмущение энтальпии  $h$  в следе за пластиной на линии симметрии изменяется практически так же, как  $u$ , и поэтому на фиг. 2 тоже не приводится.

Краевая задача (2.2)–(2.6) описывает также обтекание задней кромки пластины с характерной толщиной  $a \sim O(\varepsilon^{3/2})$ , так как при этом решение для «компенсационного» режима течения в области с характерными размерами  $\varepsilon^{3/2} < x < \varepsilon^{3/4}$ ,  $y \sim \varepsilon x^{1/3}$  в первом приближении при  $\varepsilon \rightarrow 0$  остается без изменения. В этом случае в качестве характерной длины выбирается половина толщины пластины ( $a_1 = \varepsilon^{3/2} a/2$ ,  $a_1 \sim O(1)$ ). При проведении расчетов использовалась прежняя численная схема, местное число Рейнольдса изменялось в широком диапазоне ( $Re = 0-100$ ).

На фиг. 3, 4 показано распределение линий тока в поле течения при  $Re = 0$  и 3. Решение при  $Re = 0$  соответствует стоксовскому пределу, течение в этом случае безотрывное. При  $Re > 0$  образуется срывная зона,

по мере приближения к задней кромке пластины сопровождается ростом возмущения давления  $p$  (кривая 3 на фиг. 2, левая шкала оси ординат). Однако сразу за задней кромкой пластины, где скорости все еще малы, в силу краевого условия (2.4) силы вязкости резко уменьшаются, что приводит к соответствующему падению давления при  $x \geq 0$ . На некотором удалении от задней кромки пластины течение в слое смешения будет описываться уже уравнениями пограничного слоя для «компенсационного» режима течения [5]. При этом ускорение течения в слое смешения, смещение линий тока к линии симметрии вызовут торможение внешней дозвуковой части пограничного слоя и соответствующее возрастание давления, которое при  $x \geq 10$  хорошо согласуется с асимптотическим законом изменения (1.1).

Выполненные расчеты позволяют определить изменение сопротивления одной стороны плоской пластины за счет изменения напряжения трения  $\tau$  в особой области протяженностью  $x \sim O(\varepsilon^{3/2})$ , которое характеризуется величиной  $\tau_1 = \int_{-\infty}^0 (\tau - 1) dx \approx 1,031$ .

Распределение теплового потока  $q$  по поверхности пластины очень мало отличается от распределения напряжения тре-

$$\int_{-\infty}^0 (q - 1) dx \approx 1,031.$$

протяженность которой  $L$  увеличивается практически пропорционально значению местного числа Рейнольдса:  $L \approx 0,42 \text{ Re}$  (см. таблицу). Поперечный размер срывной зоны изменяется незначительно и практически при всех  $\text{Re}$  срывная зона начинается чуть ниже верхнего края среза пластины (например,  $y = 0,88$  для  $\text{Re} = 3$  и  $y = 0,96$  для  $\text{Re} = 100$ ).

Распределения напряжения трения  $\tau$  (сплошные линии) и возмущения давления  $\text{Rep}$  (штриховые линии) по поверхности пластины для значений местного числа Рейнольдса  $\text{Re} = 0; 3$  и  $100$  (кривые 1—3) представлены на фиг. 5. Видно, что с ростом  $\text{Re}$  возмущения величин  $\tau$  и  $p$  уменьшаются, так как при этом из-за увеличения протяженности срывной зоны обтекается все более пологий обратный уступ. Этим же обстоятельством объясняется локализация возмущения течения около края среза пластины при увеличении  $\text{Re}$ .

На фиг. 6 показано изменение продольной скорости  $u$  (сплошные линии) и возмущения давления  $\text{Rep}$  (штриховые линии) вдоль линии симметрии для тех же значений  $\text{Re}$ , что и на фиг. 5. Хорошо видно, как с ростом  $\text{Re}$  увеличивается протяженность зоны возвратных токов. Однако ограниченность размеров расчетной области не позволяет проследить изменение функций течения вплоть до их выхода на асимптотические соотношения (1.1).

В таблице приведены такие же значения величин  $\tau_1, q_1, q_2 = \int_0^1 q dy$  (характеризует нагрев торца пластины) и  $p_2 = \text{Re} \int_0^1 p dy$  (характеризует сопротивление давления торца пластины) при различных значениях  $\text{Re}$ . Из этих результатов следует, что сопротивление давления пластины с толщиной  $p_2 = 0$  при  $\text{Re} \approx 7,5$ .

## ЛИТЕРАТУРА

1. Stewartson K. On the flow near the trailing edge of a flat plate. II.— *Mathematika*, 1969, v. 16.
2. Messiter A. F. Boundary layer flow near the trailing edge of a flat plate.— *S. I. A. M. J. Appl. Math.*, 1970, v. 18.
3. Daniels P. G. Numerical and asymptotic solutions for the supersonic flow near the trailing edge of a flat plate.— *Quart. J. Mech. Appl. Math.*, 1974, v. 27, pt 2, N 5.
4. Goldstein S. Concerning some solutions of boundary layer equations in hydrodynamics.— *Proc. Cambridge Phil. Soc.*, 1930, v. 26, N 1.
5. Боголепов В. В., Нейланд В. Я. Исследование локальных возмущений вязких сверхзвуковых течений.— В кн.: Аэромеханика. М.: Наука, 1976.
6. Stewartson K. On the flow near the trailing edge of a flat plate.— *Proc. Roy. Soc.*, 1968, v. A 306.
7. Боголепов В. В. Расчет обтекания обращенного навстречу потоку малого уступа.— ПМТФ, 1983, № 2.
8. Stewartson K. Multistructured boundary layers on flat plates and related bodies.— *Adv. Appl. Mech.*, 1974, v. 14.

Поступила 3/IV 1984 г.